

01; 09

© 1992

ЭЛЕКТРОДИНАМИЧЕСКИЕ СВОЙСТВА  
ВОЛНОВОДНЫХ МОД МСВ УЗКОГО ФЕРРИТОВОГО  
ВОЛНОВОДА ПРИ СТРОГОМ УЧЕТЕ НЕОДНОРОДНОСТИ  
ВНУТРЕННЕГО СТАТИЧЕСКОГО ПОЛЯ

И.В. В а с и л ь е в, С.И. К о в а л е в

Исследования процессов возбуждения и распространения магнитостатических волн в каналобразующих структурах конечных размеров - волноведущих структурах (ВС) - представляет актуальную проблему электродинамики СВЧ [1-2]. Математическое моделирование ВС МСВ основывается на численном решении краевой задачи, вытекающей из системы уравнений Максвелла в магнитостатическом приближении ( $\text{rot } \vec{H} = 0$ ,  $\vec{H} = \nabla \psi$ ,  $\psi = \psi(x, z) \exp\{i(\omega t - ky)\}$  где  $\psi$  - магнитный потенциал,  $K$  - продольное волновое число,  $\omega$  - частота сигнала),

$$\text{div} \{ \vec{\mu}(x, z) \nabla \psi \} = 0, \quad (1)$$

с граничными условиями вида  $\alpha \psi + \beta \nabla \psi = 0$  на прямоугольном контуре  $L$ , ограничивающем расчетную область [3], что позволяет моделировать ВС МСВ, содержащие неоднородно намагниченные ферритовые пластины (ФП) конечной ширины. Алгоритм анализа волноводов МСВ [3], использующий сеточную аппроксимацию оператора (1), дополнен процедурой восстановления собственного электрического поля  $\vec{E}$  МСВ-мод и расчета потока вектора Умова-Пойнтинга  $\Pi(\omega)$ .

В магнитостатическом приближении поле  $\vec{E}$  может быть найдено посредством решения неоднородной системы уравнений

$$\text{rot } \vec{E} = -i\omega \vec{\mu} \nabla \psi, \quad (2)$$

$$\text{div} (\dot{\vec{E}}) = 0, \quad (3)$$

где  $\dot{\vec{E}} = \dot{\vec{E}}(x, z)$  - комплексная при учете потерь диэлектрическая проницаемость прямоугольных слоев, образующих ВС, зависимость от поперечных координат может учитывать плавное изменение  $\dot{\vec{E}}$  в пределах слоя, а также скачкообразное ее изменение на границах слоев. Система (2), (3) может быть сведена после исключения поперечных компонент к единственному неоднородному уравнению относительно всюду непрерывной компоненты  $\dot{E}_y$ :

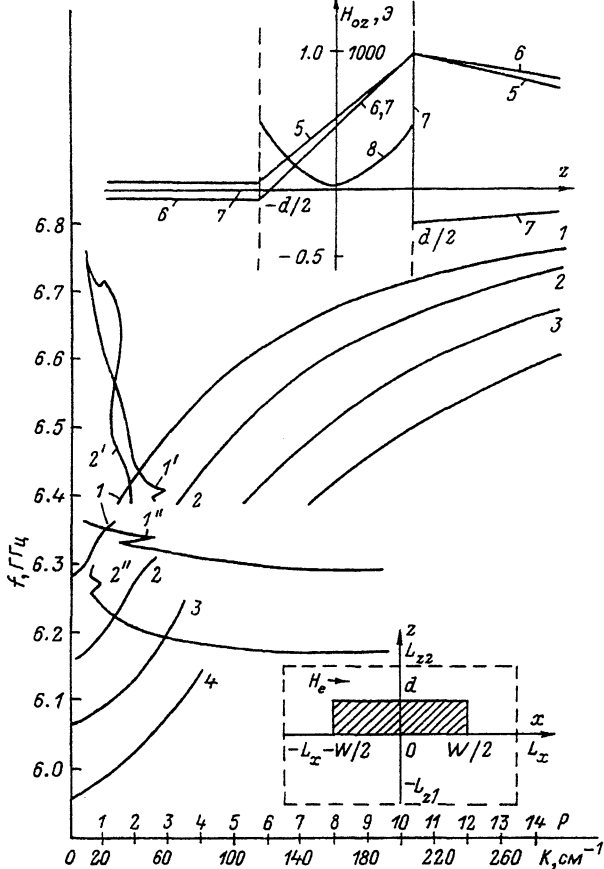


Рис. 1. Поперечное сечение исследуемого волновода и дисперсионные характеристики волноводных мод, отличающихся распределением  $\psi$  по ширине ФП: 1, 2 – дисперсионные кривые низших четной и нечетной по  $x$  мод для уточненного распределения  $H_{oz}$ ; 1', 2' – зависимости  $\Pi(F)$  соответствующих мод в части спектра поверхностных волн; 1'', 2'' – то же в области объемных волн; 3, 4 – дисперсионные кривые вторых четной и нечетной мод. Кривые 5–7 – типичные  $z$ -распределения при  $x = 0$  потенциала  $\psi$ ,  $x$ -компоненты поля  $E_x$  и  $H_{oz}$  в части спектра поверхностных волн. Кривая 8 – зависимость  $H_{oz}(z)$  при  $x = 0.5$  мм. Зависимость  $\Pi(F)$  даны в безразмерных единицах.

$$\frac{\partial}{\partial x} \left( \dot{\epsilon} \frac{\partial \dot{E}_y}{\partial x} \right) + \frac{\partial}{\partial z} \left( \dot{\epsilon} \frac{\partial \dot{E}_y}{\partial z} \right) - K^2 \dot{\epsilon} \dot{E}_y = i\omega \left( \frac{\partial}{\partial x} (\dot{\epsilon} \dot{B}_z) - \frac{\partial}{\partial z} (\dot{\epsilon} \dot{B}_x) \right) \quad (4)$$

при граничном условии  $\dot{\epsilon} \dot{E}_n = 0$  на контуре  $L$  (рис. 1) и  $\vec{B} = \text{rot} \psi$ . Формально уравнения (1) и (4) отличаются видом правой части, поэтому методика получения из (1) разностного уравне-

ния может быть использована для решения (4). Полученное неоднородное матричное уравнение с ленточной матрицей решается методом треугольного разложения. После расчета значений  $E$  в узлах сетки и восстановления компонент  $\dot{E}_x$ ,  $\dot{E}_z$  поток мощности, переносимый волной, находится посредством интегрирования по сечению ВС  $y$ -компоненты вектора Умова-Пойнтинга  $P = \frac{1}{2} [\dot{E}, \nabla \psi^*]$ .

Строгий электродинамический анализ ВС МСВ требует также наличия достоверной информации относительно распределения внутреннего поля подмагничивания  $\vec{H}_0$ , распределение и ориентация которого в случае достаточно узких ФП ( $W/d \sim 10-20$ ) могут существенно отличаться от профиля и ориентации внешнего поля  $\vec{H}_e$  или от результатов приближенных аналитических вычислений [4]. Поэтому здесь было использовано распределение компонент  $H_{0x}$  и  $H_{0z}$ , полученное в результате решения методом конечных разностей нелинейной двумерной задачи с учетом реального вида кривой намагниченности ЖИГ. Программа анализа поля  $\vec{H}_0$  использует те же входные данные, что и программы электродинамического анализа; это позволяет исследовать ВС с произвольным подмагничиванием в рамках единого программного комплекса.

В качестве примера проведено исследование электродинамических характеристик распространяющихся волн узкого одиночного волновода МСВ [2, 3], помещенного в однородное поле  $\vec{H}_0 = 1590 \vec{x}$ , Э,  $d = 0.046$  мм,  $W = 1$  мм,  $4\pi M_0 = 1750$  Г. Расчеты дисперсионных кривых (рис. 1) проводились на достаточно густой сетке, обеспечивающей относительную погрешность расчета  $K \sim 1\%$ . Установлено, что уточнение распределения поля  $\vec{H}_0$  по сравнению с расчетами в [3] по формулам [4] приводит к сдвигу дисперсионных кривых вверх на величину  $\sim 100$  МГц для области объемных мод и соответствующему смещению ветвей поверхностных мод вправо по отношению к расчетам в [3]. Это связано с тем, что уточненные значения  $H_{0x}$  на величину  $\sim 30$  Э превышают результаты расчетов по формулам [4] (ср. кривые 1, 2 рис. 2). Кроме того, численное решение дает ненулевые значения компоненты  $H_{0z}$  (кривая 3), оказывающей заметное влияние на модуль вектора  $\vec{H}_0$  у краев ФП. Ширина частотной щели между спектрами объемных и поверхностных волн, отличная от нуля, как известно из [3], при учете неоднородности  $H_{0x}$ , при этом возрастает.

Сравнение с экспериментом [2] за отсутствием там экспериментальных дисперсионных кривых удобно осуществлять посредством сопоставления хода экспериментальных АЧХ с рассчитанными нами частотными зависимостями  $\Pi(F)$ . Сравним наши результаты для четных мод (кривые 1, 3 рис. 1) с графиком Б рис. 1 работы [2]. Подъему кривой 1, на частотах 6.39-6.41 ГГц отвечает повышение уровня прохождения  $G(F)$ , т.е. начальному участку спектра поверхностной моды (см. кривую 1). Максимумы кривой 1' и АЧХ при этом совпадают с точностью до единиц МГц. Убытанию функции  $\Pi(F)$  отвечает спад  $G(F)$  до минимального значения при  $F > 6.41$  ГГц. В области ОМСВ максимумы зависи-

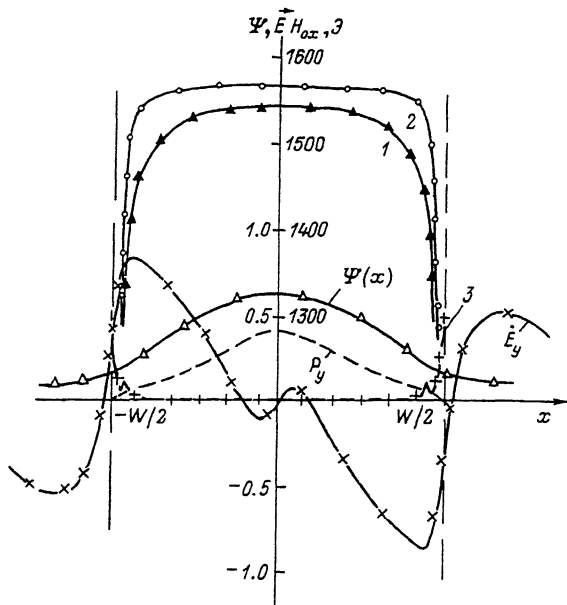


Рис. 2. Типичные для низшей четной моды распределения полей  $\vec{H}_0$ ,  $\psi$ ,  $E_y$  по  $x$  при  $z = 0.023$  мм: кривая 1 – зависимость  $H_{ox}(x)$ , рассчитанная согласно [4], 2, 3 – зависимости  $H_{ox}(x)$  и  $H_{oz}(x)$ , полученные в результате численного решения статической задачи.

мостей  $G(F)$  и  $1''$  при  $F = 6.28$  ГГц совпадают, далее наблюдается на обеих зависимостях провал в полосе 6.30–6.33 ГГц, связанный, вероятно, с вырождением типа волны (распределение поля  $\psi(z)$  здесь качественно изменяется, затрудняя идентификацию типа волны). Отсутствие прохождения сигнала на частотах 6.22–6.24 ГГц можно объяснить наличием при  $F = 6.22$  ГГц отсечки 2-й четной моды; излом графика при  $F = 6.27$  ГГц соответствует нижней частоте спектра низшей моды. Передача сигнала в полосе 6.06–6.13 ГГц осуществляется, по-видимому, на 2-й моде, как и следует из [2]. Частотная щель между объемной и поверхностной частями спектра низшей моды (кривая 1) оказывается более узкой, чем та же полоса нечетных мод, что совпадает с выводом авторов [2].

Сравнение кривых 2, 4 для низшей и второй нечетных мод с кривой А рис. 2 [2] позволяет отождествить левую часть полосы прозрачности в спектре объемных волн с возбуждением второй моды (кривая 4), а вторую ее часть (6.16–6.23 ГГц) – с возбуждением низшей моды, причем нижняя граница разделяющего полосу провала близка к верхней граничной частоте второй моды, а верхняя –

к нижней частоте отсечки низшей моды. Дальнейшему спаду  $G(F)$  отвечает падение зависимости  $\Pi(F)$  низшей моды, пропускающую в полосе 6.26–6.29 ГГц отвечает локальный максимум кривой  $2'$ . Нижняя частота поверхностных мод примерно соответствует АЧХ, верхняя граница расчетных кривых превышает наблюдаемую в эксперименте, что, по-видимому, обусловлено неучетом магнитных потерь при расчетах К.

На рис. 2 представлены типовые зависимости от  $x$  потенциала и компоненты  $E_y$ -поля низшей четной объемной моды, компонента  $\vec{E}_x$  претерпевает разрыв на границе феррит-диэлектрик-,  $\vec{y}$ -компонента вектора  $P$  близка к нулю за пределами ФП. Все функции нормированы к их максимальным значениям при  $x=0.046$  мм. Типичные зависимости  $\psi, \vec{E}_x, P_y$  от  $z$  для поверхностной части спектра приведены на рис. 1. Смена знака  $P_y$  на границе феррит-диэлектрик отвечает известному в теории неограниченных ВС МСВ эффекту встречного переноса мощности в феррите и окружающей изотропной среде.

В заключение отметим, что усилия по расчету реального распределения поля  $\vec{H}_0$  окупались лучшим по сравнению с [3] соответствием численных и экспериментальных кривых. При проведении дальнейших экспериментов с волноводами МСВ, содержащими ФП конечной ширины, желательно измерять распределение обеих компонент  $\vec{H}_0$  на поверхности ФП, что облегчило бы проведение расчетов  $\vec{H}_0$  внутри пластин. Анализ ВС МСВ полезно завершать построением частотных зависимостей потока мощности сигнала. Процедура восстановления электрического поля МСВ, помимо расчета зависимости  $\Pi(F)$ , может оказаться полезной при анализе антенн ВС МСВ с ФП конечной ширины.

Авторы благодарны С.В. Герусу за предоставление программы и результатов расчета распределения статического магнитного поля.

#### С п и с о к л и т е р а т у р ы

- [1] Васильев И.В., Нефедов Е.И. В кн.: Волноводы и дифракция. Тбилиси: ТГУ, 1985. Т. 2. С. 320.
- [2] Каменецкий Е.О., Соловьев О.В. // Письма в ЖТФ. 1989. Т. 15. В. 9. С. 20–25.
- [3] Васильев И.В., Ковалев С.И. // Письма в ЖТФ. 1990. Т. 16. В. 7. С. 56–60.
- [4] Joseph R.J., Schlomann E. // J. Appl. Phys. 1965. V. 36. N 3. P. 1579–1589.

Поступило в Редакцию  
27 марта 1992 г.